

## Uzay Hareketinde Bir Katı Cismin Kinematik Diferansiyel Geometrisi

Saime Şule AKSAKAL<sup>1\*</sup> 

### Öz

Bu çalışmanın iki bölümünden birincisi; diğer bölümün daha iyi anlaşılabilmesi için temel kavramları olan diferansiyel geometri ve kinematikle ilgilidir. İkinci bölümde ise bir düzlem yüzeye komşu bir nokta tanımlanmıştır. Belirtilen noktanın sabit olması için gerekli ve yeterli koşullar sunulmuştur. Regle yüzeye adjoint bir A noktasının geometrik yeri olan eğrinin özellikleri, regle yüzeyin özellikleriyle bağdaştırılarak incelenir.

**Anahtar Kelimeler:** Dağılıma parametresi, Regle yüzey, Euler-Savary formülü, Yapı denklemleri, Striksiyon eğrisi, Kinematik.

## Kinematic Differential Geometry of a Rigid Body in Space Movement

### Abstract

This thesis is structured into two chapters. The first chapter introduces basic concepts in differential geometry and kinematics to facilitate understanding. The second chapter defines the adjoint point to a ruled surface and presents the conditions for this point to be fixed. The analysis of the properties of the curve formed by the A point adjacent to the ruled surfaces is conducted by correlating it with the properties of the ruled surface.

**Keywords:** Distribution parameter, Ruled surface, Euler-Savary formulas, Construction equations, Striction curve, Kinematics.

<sup>1</sup>Giresun Üniversitesi, Matematik Bölümü, Giresun, Türkiye, [sule.aksakal@giresun.edu.tr](mailto:sule.aksakal@giresun.edu.tr)

\*Sorumlu Yazar/Corresponding Author

Geliş/Received: 09.10.2023

Kabul/Accepted: 01.03.2024

Yayın/Published: 15.03.2024

## 1. Giriş

Regle yüzeylerin tanımı başlangıçta G. Monge (1850) tarafından yapılmış, daha sonra konuya ek olarak V. Hlavaty (1945) ve J. Hoschek (1973) tarafından doğruların 1- parametrelili ailesi konuları araştırılmıştır. Bir doğrunun seçilen bir dayanak eğrisi boyunca hareket etmesiyle oluşturulan regle yüzeylerden mühendislik, mimarlık, kinematik, bilgisayar programları ve mekanik gibi çeşitli alanlarda yararlanılmaktadır. Ayrıca özel olarak açılabilir regle yüzeyler; hareket analizi, nesne tanıma sistemleri, gemi ürünlerinin üretimi, katı cisim simülasyonunda kullanılmaktadır [Saçlı (2013); Sevinç ve Samancı (2022)].

## 2. Materyal ve Metot

Bu çalışmanın bulgu ve tartışma kısmını daha iyi anlamak için temel kavramlara ayırdığımız ikinci kısım, üç alt başlıktan meydana gelmektedir. İlk alt başlık çizgilerin uzaydaki hareketlerine; ikinci alt başlık eğriler teorisine ve üçüncü alt başlık ise yüzeylere odaklanmıştır.

### 2.1. Çizgilerin Uzayındaki Hareketler

**Tanım 2.1.1.**  $T, L$  cismi üzerinde bir vektör uzayı;  $K$  ise boştan farklı bir cümle olsun. Eğer  $\psi: K \times K \rightarrow T$  fonksiyonu, her  $P, Q \in K$  noktaları için  $\overrightarrow{PQ} \in T$  tanımı altında aşağıdaki özellikleri sağlıyorsa,  $K$  cümlesi  $T$  ile birleştirilmiş bir afin uzay olarak adlandırılır.

$$i) \forall P \in K \text{ ve } \forall \alpha \in T \text{ iken } \overrightarrow{PQ} = \alpha$$

$$ii) \forall P, Q, R \in K \text{ olmak üzere } \overrightarrow{PR} = \overrightarrow{PQ} + \overrightarrow{QR}$$

şartlarını sağlayan bir tek  $Q \in K$  noktası vardır.  $\overrightarrow{PQ}$  vektörü başlangıç noktası  $P$  ve uç noktası  $Q$  olan bir vektördür.  $K$ 'nın boyutu  $boyK=boyT$  şeklinde tanımlıdır.

$T$  bir vektör uzayı,  $K$  ise  $T$  ile birleşen bir reel afin uzay olsun.  $T$ ' de tanımlanan bir  $\langle, \rangle : T \times T \rightarrow \mathbb{R}$  iç çarpım işlemi aracılığıyla  $K$ ' da diklik, açı, uzunluk gibi metrik özellikleri tanımlayabiliriz. Bu durumda  $K$  afin uzayı artık bir Öklid uzayı olarak adlandırılır ve  $E^n$  ile temsil edilir [Hacısalıhoğlu (1983)].

**Tanım 2.1.2.**  $n$  boyutlu  $E^n$  Öklid Uzayında yer alan bir  $P$  noktasının  $E^n$ ' de bir afin koordinat sistemine göre koordinatları  $(p_1, p_2, \dots, p_n)$  olarak verilsin.  $p_i = E^n \rightarrow \mathbb{R}$  koordinatlarına  $E^n$ ' nin  $i$ -yinci koordinat fonksiyonu adı verilir.  $\mathbb{R}^n$  standart reel afin uzayı iken  $\mathbb{R}^n$ ' de bir  $\langle, \rangle : \mathbb{R}^n \times \mathbb{R}^n \rightarrow \mathbb{R}$  iç çarpımı  $\forall P, Q \in \mathbb{R}^n$  için  $\langle, \rangle (P, Q) = \langle P, Q \rangle = \sum_{i=1}^n p_i q_i$  şeklinde tanımlansın. Bu iç çarpıma

$\mathbb{R}^n$ , de Öklid iç çarpımı veya standart iç çarpım denir. Standart iç çarpımın tanımlandığı bu  $\mathbb{R}^n$  vektör uzayıyla birleşen  $\mathbb{R}^n$  afin uzayına  $n$ - boyutlu standart Öklid uzayı adı verilir ve  $E^n$  ile temsil edilir [Hacısalıhoğlu (1983)].

**Tanım 2.1.3.**  $E_1^n$  ve  $E_2^n$ ,  $\mathbb{R}_1^n$  ve  $\mathbb{R}_2^n$  iç çarpım uzaylarıyla birleşen Öklid uzayları olsun. Bir  $f: E_1^n \rightarrow E_2^n$  afin dönüşümü  $\forall \alpha, \beta \in \mathbb{R}_1^n$  için  $\langle \psi(\alpha), \psi(\beta) \rangle = \langle \alpha, \beta \rangle$  koşulunu gerçekleyebilen bir  $\psi: \mathbb{R}_1^n \rightarrow \mathbb{R}_2^n$  lineer dönüşümü ile birleşebiyorsa  $f$  ye bir izometri denir [Hacısalıhoğlu (1983)].

**Tanım 2.1.4.**  $n$  – boyutlu  $E^n$  Öklid uzayının bir izometrisi  $f$  olsun.  $E^n$ , de bulunan bir  $\{x_1, x_2, \dots, x_n\}$  Öklid koordinat sistemine göre  $f$  nin matris formundaki gösterimi  $A \in O(n)$  ve  $C \in \mathbb{R}_1^n$  olmak üzere  $\begin{bmatrix} X' \\ I \end{bmatrix} = \begin{bmatrix} A & C \\ 0 & 1 \end{bmatrix} \begin{bmatrix} X \\ 1 \end{bmatrix}$  şeklindedir.  $f$  ye  $E^n$  de bir hareket adı verilir.

$A \in O(n)$  olduğunda  $\det A = \pm 1$  olmaktadır. Eğer bu A matrisinin determinanı pozitif ise  $f'$  ye direkt hareket; determinant negatif ise  $f'$  ye karşıt hareket denir. Bu çalışmada hareket ifadesi yalnız kullanıldığında direkt hareketleri temsil edecektir. Direkt hareketler, direkt dönme ve öteleme olmak üzere iki tür hareketin bileşimidir.

Eğer  $E^n$  Öklid uzayında bir izometri olan  $f$  için  $f(0) = 0$  koşulunu sağlayan bir  $O \in E^n$  noktası mevcut ise  $f$  ye "O" noktası etrafında bir dönme denir [Hacısalıhoğlu (1983)].

**Tanım 2.1.5.**  $E^n$  Öklid uzayının bir  $f$  izometrisi ve  $\forall X \in E^n$  için  $f(X) = X + h$  koşulunu sağlayan bir ve tek  $h \in E^n$  noktası mevcut ise  $f$  dönüşümüne  $E^n$  uzayının  $h$  ile gösterilen bir ötelemesi adı verilir [Hacısalıhoğlu (1983)].

$E^3$  uzayında bulunan 1- parametrelili hareketlerde  $E^3$  uzayının doğruları regle yüzeyler teorisi açısından büyük önem taşımaktadır. Doğrular  $E^3$  uzayının doğrusal nokta cümleleridir. Bu nedenle  $E^3$  Öklid uzayını sadece doğrulardan oluşmuş bir uzay olarak kabul edecek ve  $E^3$ , e çizgiler uzayı adını vereceğiz.

**Tanım 2.1.6.** Uzay hareketi  $H/H'$  nin  $\begin{bmatrix} A & C \\ 0 & 1 \end{bmatrix}$  matrisi üzerinde dönmeyi temsil eden  $A \in O(3)$  ve ötelemeyi temsil eden  $C \in \mathbb{R}_1^3$  matrisleri,  $A = A(t)$  ve  $C = C(t)$  olarak belirli tek bir  $t$  reel parametresine ait diferensiyellenebilir fonksiyonlarıysa  $H/H'$  hareketine 1-parametrelili uzay hareketi adı verilir [Hacısalıhoğlu (1983)].

## 2.2.Eğriler Teorisi

**Tanım 2.2.1.**  $I \subseteq \mathbb{R}$  açık bir aralık iken  $(I, \alpha)$  koordinat komşuluğunda tanımlı  $\alpha(I) \subset E^n$  fonksiyonuna  $\alpha$  eğrisi adı verilir,  $\alpha: I \rightarrow E^n$ ,  $I \subseteq \mathbb{R}$  ile ifade edilir [Hacısalıhoğlu (1983)].

**Tanım 2.2.2.**  $M \subset E^n$  eğrisi  $(I, \alpha)$  koordinat komşuluğunda tanımlansın.  $\|\alpha'\|: I \rightarrow \mathbb{R}$  iken  $t \rightarrow \|\alpha'(t)\|$  olarak tanımlı  $\|\alpha'\| \in \mathbb{R}$  sayısına  $M$  nin  $(I, \alpha)$  koordinat komşuluğunda yer alan  $\alpha(t)$  noktasındaki skalar hızı denir [Hacısalıhoğlu (1983)].

**Tanım 2.2.3.**  $(I, \alpha)$  koordinat komşuluğunda tanımlı bir  $M \subset E^n$  eğrisi için  $\forall s \in I$  için  $\|\alpha'(s)\| = 1$  ise  $M$  eğrisi  $(I, \alpha)$ ' ya göre birim hızlı eğridir olarak adlandırılır. Eğrinin  $s \in I$  parametresine ise yay parametresi adı verilir [Hacısalıhoğlu (1983)].

**Tanım 2.2.4.**  $(I, \alpha)$  koordinat komşuluğunda tanımlı bir  $M \subset E^n$  eğrisi için  $a, b \in I$  iken  $M$  eğrisinin  $a'$  dan  $b'$  ye yay uzunluğu olarak, eğrinin  $\alpha(a)$  ve  $\alpha(b)$  noktaları arasındaki uzunluğunu ifade eden  $\int_a^b \|\alpha'(t)\| dt$ ;  $t \in I$  reel sayısına karşılık gelir [Hacısalıhoğlu (1983)].

**Tanım 2.2.5.** Bütün noktalarının hız vektörünün sıfırdan farklı olduğu eğrilere regüler eğriler adı verilir [Hacısalıhoğlu (1983)].

**Tanım 2.2.6.**  $(I, \alpha)$  koordinat komşuluğunda tanımlı bir  $M \subset E^n$  eğrisi için  $t \in I$  için  $\alpha(t)$  noktasındaki Frenet 3-ayaklısı  $\{T(t), N(t), B(t)\}$  ise

$$T(t) = \frac{\alpha'(t)}{\|\alpha'(t)\|}, N(t) = B(t) \wedge T(t), B(t) = \frac{\alpha'(t) \wedge \alpha''(t)}{\|\alpha'(t) \wedge \alpha''(t)\|}$$

olarak tanımlanır [Hacısalıhoğlu (1983)].

**Tanım 2.2.7.**  $(I, \alpha)$  koordinat komşuluğunda tanımlı bir  $M \subset E^n$  eğrisi için  $s \in I$  ya karşılık gelen  $\alpha(s)$  noktasında yer alan Frenet 3-ayaklısı  $\{T, N, B\}$  olarak tanımlansın. Frenet vektörleri ile türevleri arasında

$$\begin{bmatrix} T' \\ N' \\ B' \end{bmatrix} = \begin{bmatrix} 0 & k_1 & 0 \\ -k_1 & 0 & k_2 \\ 0 & -k_2 & 0 \end{bmatrix} \begin{bmatrix} T \\ N \\ B \end{bmatrix}$$

bağıntısı bulunur. Burada  $k_1(s) \in \mathbb{R}$  sayısına  $\alpha$  eğrisinin eğriliği ve  $k_2(s) \in \mathbb{R}$  sayısına ise  $\alpha$  eğrisinin burulması adı verilir [Hacısalıhoğlu (1983)].

### 2.3.Yüzeyler Teorisi

**Tanım 2.3.1.**  $M$  cümlesi,  $n$  boyutlu  $E^n$  vektör uzayında boyutu olan bir yüzey ya da  $(n-1)$  yüzey olarak  $E^n$  uzayında tanımlı boştan farklı bir cümledir. Öyle ki bu cümle

$$M = \left\{ x \in U \subset E^n \mid f: U \xrightarrow{\text{diferensineyellebilir}} \mathbb{R}, U \text{ bir açık alt cümle} \right\}$$

$$x \rightarrow f(x) = c$$

$\nabla f|_P \neq 0, \forall P \in M$  biçiminde tanımlanır.  $E^2$ ' de bir 1 yüzeye düzlemsel eğri,  $E^3$ ' de bir 2 yüzeye ise genel olarak yalnızca yüzey denir.  $n > 3$  iken  $E^n$ ' de bir  $(n-1)$  yüzey genel olarak bir hiperyüzey olarak isimlendirilir.

Herbir  $M$  hiperyüzeyi bir  $(n - 1)$  manifolddur, bu nedenle  $\forall P \in M$  noktasında  $M$ ' nin bir tanjant uzayı  $T_M(P)$  olarak tanımlı olup, bu tanjant uzayı  $(n - 1)$  boyutlu bir vektör uzayıdır. Bu uzay  $T_{E^n}(P)$  tanjant uzayının bir alt uzayıdır.  $T_M(P)$ ,  $M$ ' yi tanımlarken kullanılan  $f$  fonksiyonundan bağımsız; yalnızca  $M$ ' ye bağlı bir tanjant uzayıdır.  $T_M(P)$  vektör uzayı,  $E^n$ ' nin tamamen  $M$ ' de bulunan parametrelili eğrilerinin  $P$  noktasındaki hız vektörleriyle karakterize edilebilir. Eğer  $M$ ' yi tanımlarken bahsedilen türevlenebilir fonksiyon  $f$  ise  $c \in \mathbb{R}$  bir sabit olmak şartıyla  $f(x) = c, \forall x \in M$  dir, ayrıca  $\nabla f|_P \neq 0, \forall P \in M$  dir. Böyle bir  $f$  fonksiyonu  $M$ ' nin tanımı ile mevcuttur; ayrıca  $f$  fonksiyonları birden fazla olabilir. Her  $f$  fonksiyonu için  $T_M(P) = [\nabla f|_P]^\perp$  olarak ifade edilebilir [Hacısalihoglu (1983)].

**Tanım 2.3.2.**  $M, E^n$  nin bir hiperyüzeyi olarak verilsin.  $\chi(M)^\perp$ ' nin ortonormal bir bazı  $\{N\}$  olarak belirlenirse,  $N$ ' ye  $M$ ' nin birim normal vektör alanı adı verilir.  $\chi(M)^\perp$ ' nin  $\{N\}$  ve  $\{-N\}$  olmak üzere iki tane birim normal vektör alanı vardır [Hacısalihoglu (1983)].

**Tanım 2.3.3.**  $M \subset E^3$  yüzeyi verilsin.  $\forall P \in M$  noktasında,  $E^3$ ' ün  $M$ ' de kalan bir doğrusu var ise  $M$ ' ye bir regle yüzey ve  $P \in M$  noktasından geçen ve  $M$ ' de kalan doğruya da  $M$ ' nin bir doğrultmanı denir [Hacısalihoglu (1983)].

**Tanım 2.3.4.**  $E^3$  Öklid uzayında  $e_1(P) = (1,0,0)|_P, e_2(P) = (0,1,0)|_P, e_3(P) = (0,0,1)|_P$  biçimindeki  $\{e_1, e_2, e_3\}$  çatı alanına doğal çatı alanı adı verilir [Hacısalihoglu (1983)].

**Tanım 2.3.5.**  $V_1, V_2, V_3$  vektör alanları  $E^3$  Öklid uzayında tanımlanmış olsun. Eğer  $\forall P \in E^3$  noktası için  $\{V_1, V_2, V_3\}$  sistemi  $P$  noktasındaki  $T_{E^3}(P)$  tanjant uzayına ait bir taban ise bu vektör alanlarına  $E^3$  de bir çatı alanı adı verilir [Hacısalihoglu (1983)].

**Tanım 2.3.6.** Bir  $\varphi(t, v)$  regle yüzeyinde iki komşu doğrultmanın orta dikmesinin esas doğrultmanı üstündeki ayağına striksiyon (merkez veya boğaz) noktası adı verilir [Hacısalıhoğlu (1983)].

**Tanım 2.3.7.** Bir  $\varphi(t, v)$  regle yüzeye ait ana doğru, dayanak eğrisi boyunca hareket ederek yüzeyi oluştururken boğaz noktalarının geometrik yerine regle yüzeyin boğaz (striksiyon) eğrisi (çizgisi) denir [Hacısalıhoğlu (1983)].

### 3. Bulgular ve Tartışma

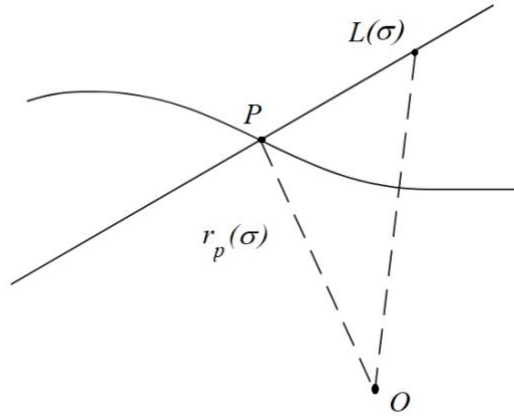
#### 3.1. Regle Yüzeylerde Sabit ve Hareketli Cisimlerin Kinematik Anlamları

##### 3.1.1. Bir Regle Yüzeye Bitişik Olan Eğriler

$\sigma \in \mathbb{R}$  iken  $r_p(\sigma)$  uzay eğrisini düşünelim (Şekil 1). Bir  $L$  doğrusunun  $r_p(\sigma)$  uzay eğrisine dayanarak hareket ederken oluşturduğu regle yüzeyin vektörel denklemini

$$\Sigma: R(\sigma, \mu) = r_p(\sigma) + \mu L(\sigma), \mu \in \mathbb{R} \quad (1)$$

şeklinde ifade edebiliriz [Sasaki (1956); Wang ve Xiao (1993)].

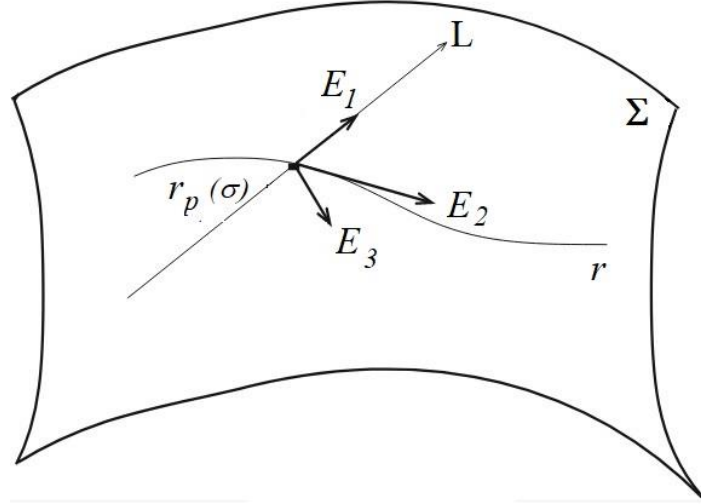


Şekil 1.  $r_p(\sigma)$  uzay eğrisi

Burada  $L(\sigma)$  ve  $r_p(\sigma)$ ;  $\Sigma$  regle yüzeyinin doğrultmanı ve dayanak eğrisidir.  $\Sigma'$ 'nin striksiyon eğrisi,  $r_p(\sigma)$  dayanak eğrisi olarak belirlensin. Böylece  $\Sigma$  regle yüzeyinin doğal 3-ayaklısı veya  $\{\vec{r}_p; \vec{E}_1, \vec{E}_2, \vec{E}_3\}$  Frenet çatısını

$$E_1 = L(\sigma), \quad E_2 = \frac{dL}{d\sigma}, \quad E_3 = E_1 \times E_2 \quad (2)$$

olarak alalım (Şekil2).



Şekil 2.  $\Sigma$  regle yüzeyinin doğal 3-ayaklısı

Burada Frenet çatisı  $\sigma'$  ya göre diferansiyellenerek aşağıdaki işlemler yapılırca

$$\langle E_1, E_1 \rangle = 1 \Rightarrow \langle dE_1, E_1 \rangle = 0 \Rightarrow dE_1 = \alpha E_2 + \gamma E_3$$

$$\langle E_2, E_2 \rangle = 1 \Rightarrow \langle dE_2, E_2 \rangle = 0 \Rightarrow dE_2 = \lambda E_1 + \beta E_3$$

$$\langle E_3, E_3 \rangle = 1 \Rightarrow \langle dE_3, E_3 \rangle = 0 \Rightarrow dE_3 = \xi E_1 + \zeta E_2$$

$$\langle E_1, E_2 \rangle = 0 \Rightarrow \langle dE_1, E_2 \rangle + \langle dE_2, E_1 \rangle = 0 \Rightarrow \langle \alpha E_2 + \gamma E_3, E_2 \rangle + \langle \lambda E_1 + \beta E_3, E_1 \rangle = 0$$

$$\Rightarrow \lambda + \alpha = 0 \Rightarrow \lambda = -\alpha$$

$$\langle E_2, E_3 \rangle = 0 \Rightarrow \langle dE_3, E_2 \rangle + \langle dE_2, E_3 \rangle = 0 \Rightarrow \langle \xi E_1 + \zeta E_2, E_2 \rangle + \langle \lambda E_1 + \beta E_3, E_3 \rangle = 0$$

$$\Rightarrow \beta + \zeta = 0 \Rightarrow \zeta = -\beta$$

$$\langle E_1, E_3 \rangle = 0 \Rightarrow \langle dE_3, E_1 \rangle + \langle dE_1, E_3 \rangle = 0 \Rightarrow \langle \xi E_1 + \zeta E_2, E_1 \rangle + \langle \alpha E_2 + \gamma E_3, E_3 \rangle = 0$$

$$\Rightarrow \gamma + \xi = 0 \Rightarrow \xi = -\gamma$$

olduğundan

$$\frac{dr_p}{d\sigma} = \alpha E_1 + \gamma E_3, \quad \frac{dE_1}{d\sigma} = \alpha E_2 + \gamma E_3, \quad \frac{dE_2}{d\sigma} = -\alpha E_1 + \beta E_3, \quad \frac{dE_3}{d\sigma} = -\gamma E_1 - \beta E_2$$

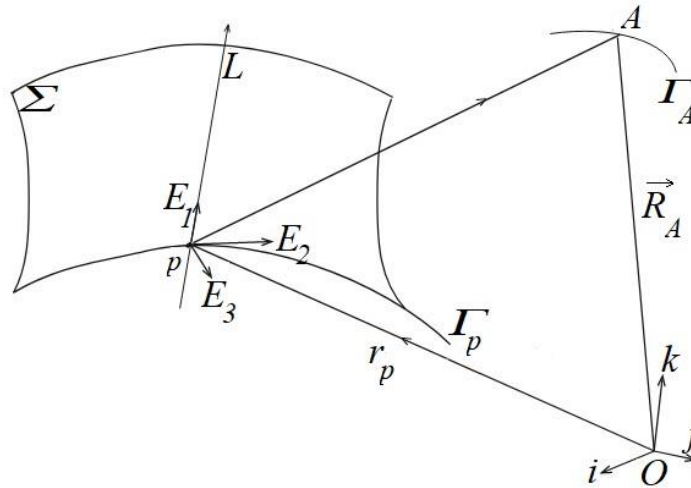


bulunur.  $\|L\| = 1$  olduğundan  $dE_1 = E_2$  olur. Bu durumda  $\alpha = 1$  ve  $\gamma = 0$  olarak belirlenmiş olur. Bu durumda Frenet çatısı ile diferansiyelleri arasında

$$\begin{aligned}\frac{dE_1}{d\sigma} &= E_2 \\ \frac{dE_2}{d\sigma} &= -E_1 + \beta E_3 \\ \frac{dE_3}{d\sigma} &= -\beta E_2\end{aligned}\quad (3)$$

bağıntıları mevcuttur. Burada  $\alpha, \beta, \gamma$  katsayıları  $\Sigma$  nin eğrilik fonksiyonları veya  $\Sigma$  nin yapı parametreleri olarak adlandırılır.

$L$  doğrusu  $r_p(\sigma)$  dayanak eğrisine dayanarak  $\Sigma$  regle yüzeyini oluştururken,  $r_p(\sigma)$  dayanak eğrisinin üzerinde bulunmayan bir  $A$  noktasının geometrik yeri ise  $\Gamma_A$  ile göstereceğimiz,  $\Sigma$  regle yüzeyine adjoint (bitişik) bir eğri şeklindedir [McCarthy ve Roth (1981)].



Şekil 3.  $\Sigma$  regle yüzeyine adjoint  $\Gamma_A$  eğrisi

Böylece  $\Gamma_A$  nın vektörel denklemini

$$\Gamma_A: \vec{R}_A = \vec{r}_p + x_1 \vec{E}_1 + x_2 \vec{E}_2 + x_3 \vec{E}_3 \quad (4)$$

olarak yazabiliriz. Burada  $(x_1, x_2, x_3); \{\vec{r}_p; \vec{E}_1, \vec{E}_2, \vec{E}_3\}$  Frenet çatısına göre  $A$  noktasının koordinatlarıdır (Şekil3).

$\vec{R}_A$  yı  $\sigma$  ya göre diferansiyelleyip (3) denklemini kullanırsak

$$\begin{aligned}
\frac{d\vec{R}_A}{d\sigma} &= \frac{dr_p}{d\sigma} + \frac{dx_1}{d\sigma} E_1 + \frac{dE_1}{d\sigma} x_1 + \frac{dx_2}{d\sigma} E_2 + \frac{dE_2}{d\sigma} x_2 + \frac{dx_3}{d\sigma} E_3 + \frac{dE_3}{d\sigma} x_3 \\
&= \alpha E_1 + \gamma E_3 + \frac{dx_1}{d\sigma} E_1 + E_2 x_1 + \frac{dx_2}{d\sigma} E_2 - E_1 x_2 + \beta x_2 E_3 + \frac{dx_3}{d\sigma} E_3 - \beta x_3 E_2 \\
&= \left( \frac{dx_1}{d\sigma} - x_2 + \alpha \right) E_1 + \left( x_1 + \frac{dx_2}{d\sigma} - \beta x_3 \right) E_2 + \left( \beta x_2 + \frac{dx_3}{d\sigma} + \gamma \right) E_3
\end{aligned}$$

elde edilir. Burada

$$A_1 = \frac{dx_1}{d\sigma} - x_2 + \alpha, \quad A_2 = x_1 + \frac{dx_2}{d\sigma} - \beta x_3, \quad A_3 = \beta x_2 + \frac{dx_3}{d\sigma} + \gamma$$

alınırsa

$$\frac{d\vec{R}_A}{d\sigma} = A_1 \vec{E}_1 + A_2 \vec{E}_2 + A_3 \vec{E}_3 \quad (5)$$

denklemini elde edilir.

A noktası  $\{0; i, j, k\}$  sabit çatısına göre sabit bir noktaysa  $\frac{dR_A}{d\sigma} = 0$  olur. Burada  $\vec{E}_1, \vec{E}_2, \vec{E}_3$  Frenet vektörler olduğundan

$$A_1 = 0, \quad A_2 = 0, \quad A_3 = 0 \quad (6)$$

elde edilir. Bu koşullar altında A noktasına sabit nokta denir ve (6) denklemi bir regle yüzey ile bitişik bir eğrinin sabit nokta şartı olarak tanımlanır.

### 3.1.2. Uzak Hareketinde Bir Noktanın Yörüngesinin Temel Denklemleri

$\{0_f; i_f, j_f, k_f\}$  sabit çatısına göre hareketli olan bir çatı  $\{0_m; i_m, j_m, k_m\}$  olsun. Bu çatıların temsil ettikleri uzaylara sabit uzay ve hareketli uzay diyeceğiz. Sabit ve hareketli çatıya göre regle yüzeyler sırası ile

$$\left. \begin{aligned}
\Sigma_f &= R_f(\sigma_f, \mu_f) = r_f + \mu_f S_f \\
\Sigma_m &= R_m(\sigma_m, \mu_m) = r_m + \mu_m S_m
\end{aligned} \right\} \quad (7)$$

şeklinde. Burada  $r_f$  ve  $r_m$  sırasıyla  $\Sigma_f$  ve  $\Sigma_m$  nin striksiyon eğrilerinin yer vektörleri,  $S_f$  ve  $S_m$  de ani vida eksenlerinin (ISA) birim vektörleri veya  $\Sigma_f$  ve  $\Sigma_m$  nin üreteç vektörleri;  $\sigma_f$  ve  $\sigma_m$  ise yay parametreleridir.  $\Sigma_f$  ve  $\Sigma_m$  regle yüzeyleri için  $\{r_f; E_1^{(f)}, E_2^{(f)}, E_3^{(f)}\}$  ve  $\{r_m; E_1^{(m)}, E_2^{(m)}, E_3^{(m)}\}$  Frenet formüllerini (2) denkleminde olduğu gibi yazabiliriz.

$$E_1^{(m)} = S^{(m)}(\sigma), \quad E_2^{(m)} = \frac{dS^{(m)}(\sigma)}{d\sigma_{(m)}}, \quad E_3^{(m)} = E_1^{(m)} \times E_2^{(m)}$$

$$E_1^{(f)} = S^{(f)}(\sigma), \quad E_2^{(f)} = \frac{dS^{(f)}(\sigma)}{d\sigma_{(f)}}, \quad E_3^{(f)} = E_1^{(f)} \times E_2^{(f)}$$

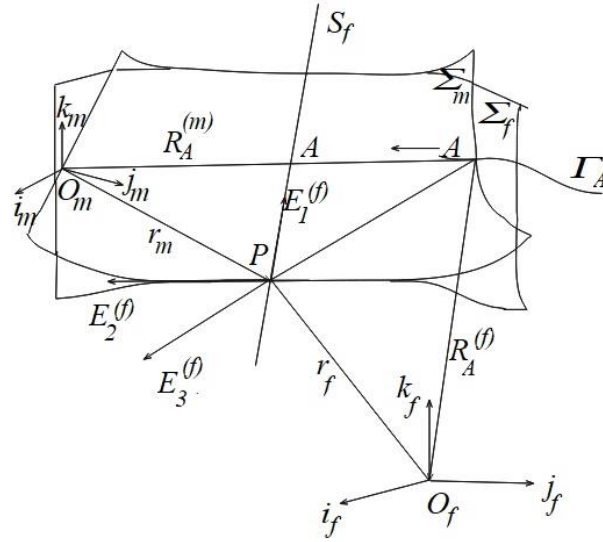
Sabit  $\Sigma_f$  regle yüzeyini (aksoidini) alalım. Sabit (fixed)  $\{0_f; i_f, j_f, k_f\}$  referans çatısında bulunan, hareketli  $\Sigma_m$  cisminin sabit bir  $A$  noktasının yörüngesini araştıralım (Şekil4). Herhangi bir anda  $A$  noktası  $\Sigma_f$  regle yüzeyine bitişik olsun. Bu durumda  $\Gamma_A$  eğrisinin vektörel denklemi;

$$\Gamma_A: \overrightarrow{R_A} = \overrightarrow{r_f} + x_1 \overrightarrow{E_1^{(f)}} + x_2 \overrightarrow{E_2^{(f)}} + x_3 \overrightarrow{E_3^{(f)}} \quad (8)$$

ile verilir. Burada  $(x_1, x_2, x_3); \{\overrightarrow{r_f}; \overrightarrow{E_1^{(f)}}, \overrightarrow{E_2^{(f)}}, \overrightarrow{E_3^{(f)}}\}$   $A$  noktasının, Frenet çatısına göre koordinatlarıdır. Bu taktirde  $\overrightarrow{R_A}$  vektörünün  $\sigma_f$  ye göre diferansiyeli;

$$\frac{d\overrightarrow{R_A}}{d\sigma_{(f)}} = \left( \frac{dx_1}{d\sigma_{(f)}} - x_2 + \alpha_f \right) E_1^{(f)} + \left( x_1 + \frac{dx_2}{d\sigma_{(f)}} - \beta_f x_3 \right) E_2^{(f)} + \left( \beta_f x_2 + \frac{dx_3}{d\sigma_{(f)}} + \gamma_f \right) E_3^{(f)} \quad (9)$$

bulunur.



Şekil 4. Hareketli  $\Sigma_m$  cisminin sabit bir  $A$  noktasının sabit referans çatısındaki yörüngesi

Şimdi de  $A$  noktasını  $\Sigma_m$  hareketli regle yüzeyine adjoint olarak alalım.  $\Sigma_m$  regle yüzeyi oluşturduğu sırada  $A$  noktası ise bir  $\Gamma_A^{(m)}$  eğrisi meydana getirir. Bu eğrinin vektörel denklemini

$$\Gamma_A^{(m)}: \overrightarrow{R_A^{(m)}} = \overrightarrow{r_m} + x_1 \overrightarrow{E_1^{(m)}} + x_2 \overrightarrow{E_2^{(m)}} + x_3 \overrightarrow{E_3^{(m)}} \quad (10)$$

ile gösterelim. Burada  $(x_1, x_2, x_3); \{\overrightarrow{r_m}; \overrightarrow{E_1^{(m)}}, \overrightarrow{E_2^{(m)}}, \overrightarrow{E_3^{(m)}}\}$  Frenet çatısına göre  $A$  noktasının koordinatlarıdır. Şimdi  $\Gamma_A^{(m)}$  eğrisinin  $\{0_m; i_m, j_m, k_m\}$  referans çatısına göre değişimini inceleyelim.

Bu çalışmada sabit  $\Sigma_f$  regle yüzeyi ile hareketli  $\Sigma_m$  regle yüzeyi (8) ve (10) denklemlerinde birbirine teğet olur. Buna göre  $\gamma_m = \gamma_f$  ve  $d\sigma_{(f)} = d\sigma_{(m)}$  olur. Veya  $\{\overrightarrow{r_m}; \overrightarrow{E_1^{(m)}}, \overrightarrow{E_2^{(m)}}, \overrightarrow{E_3^{(m)}}\}$  ve  $\{\overrightarrow{r_f}; \overrightarrow{E_1^{(f)}}, \overrightarrow{E_2^{(f)}}, \overrightarrow{E_3^{(f)}}\}$  Frenet çatıları herhangi bir anda çakışır ki bu (8) ve (10) denklemlerindeki  $(x_1, x_2, x_3)$  koordinatlarının aynı olduğunu gösterir.

$A$  noktası  $\{0_m; i_m, j_m, k_m\}$  referans çatısına göre sabit bir nokta olduğu durumda  $\overrightarrow{R_A^{(m)}}$ 'nin türevleri regle yüzeye bir adjoint eğrinin sabit nokta şartı ile uyur. Yani

$$\begin{aligned} \frac{dx_1}{d\sigma_{(m)}} &= x_2 - \alpha_m \\ \frac{dx_2}{d\sigma_{(m)}} &= -x_1 + \beta_m x_3 \\ \frac{dx_3}{d\sigma_{(m)}} &= -\beta_m x_2 - \gamma_m \end{aligned} \quad (11)$$

olur. Yukardaki denklem (9) da yerine yazılırsa

$$\frac{d\vec{R}_A}{d\sigma_{(f)}} = (x_2 - \alpha_m - x_2 + \alpha_f)E_1^{(f)} + (x_1 + \beta_m x_3 - x_1 - \beta_f x_3)E_2^{(f)} + (\beta_f x_2 - \beta_m x_2 - \gamma_m + \gamma_f)E_3^{(f)}$$

$$\frac{d\vec{R}_A}{d\sigma_{(f)}} = (\alpha_f - \alpha_m)E_1^{(f)} + (\beta_m - \beta_f)x_3E_2^{(f)} + [(\beta_f - \beta_m)x_2 - (\gamma_m - \gamma_f)]E_3^{(f)}$$

elde edilir. Burada

$$\alpha^* = \alpha_f - \alpha_m, \quad \beta^* = \beta_f - \beta_m, \quad \gamma^* = \gamma_f - \gamma_m \quad (12)$$

alınırsa

$$\frac{d\vec{R}_A}{d\sigma_{(f)}} = \alpha^* E_1^{(f)} + \beta^* (x_2 E_3^{(f)} - x_3 E_2^{(f)}) \quad (13)$$

elde edilir. Burada (12) denklemi  $\Sigma_m$  ve  $\Sigma_f$  regle yüzeylerinin indirgenmiş yapı denklemleridir.

Bunlar uzay hareketlerinin ani değişmezleridir.

$d\sigma_{(f)} = d\sigma_{(m)}$  olduğundan bundan böyle kısaca  $d\sigma$  ile ifade edeceğiz.  $R_A$  nın  $\sigma$  ya göre ikinci türevi;

$$R'_A = \alpha^* E_1^{(f)} + \beta^* (x_2 E_3^{(f)} - x_3 E_2^{(f)})$$

$$R''_A = \alpha^{*'} E_1^{(f)} + \alpha^* E_1'^{(f)} + \beta^{*'} (x_2 E_3^{(f)} - x_3 E_2^{(f)}) + \beta^* (x_2' E_3^{(f)} + x_2 E_3'^{(f)} - x_3' E_2^{(f)} - x_3 E_2'^{(f)})$$

$$= \alpha^{*'} E_1^{(f)} + \alpha^* E_2^{(f)} + \beta^{*'} (x_2 E_3^{(f)} - x_3 E_2^{(f)}) + \beta^* (x_2' E_3^{(f)} - \beta_f x_2 E_2^{(f)} - x_3' E_2^{(f)} -$$

$$x_3 (-E_1^{(f)} + \beta_f E_3^{(f)}))$$

$$= \alpha^{*'} E_1^{(f)} + \alpha^* E_2^{(f)} + \beta^{*'} x_2 E_3^{(f)} - \beta^{*'} x_3 E_2^{(f)} + \beta^* x_2' E_3^{(f)} - \beta^* \beta_f x_2 E_2^{(f)} - \beta^* x_3' E_2^{(f)} +$$

$$\beta^* x_3 E_1^{(f)} - \beta^* x_3 \beta_f E_3^{(f)}$$

$$= \alpha^{*'} E_1^{(f)} + \alpha^* E_2^{(f)} + \beta^{*'} x_2 E_3^{(f)} - \beta^{*'} x_3 E_2^{(f)} + \beta^* (-x_1 + \beta_m x_3) E_3^{(f)}$$

$$\begin{aligned}
& -\beta^* \beta_f x_2 E_2^{(f)} - \beta^* (-\beta_m x_2 - \gamma_m) E_2^{(f)} + \beta^* x_3 E_1^{(f)} - \beta^* x_3 \beta_f E_3^{(f)} \\
& = \alpha^* E_1^{(f)} + \alpha^* E_2^{(f)} + (\beta^* x_2) E_3^{(f)} - \beta^* x_3 E_2^{(f)} + \beta^* \beta_m x_3 E_3^{(f)} - \beta^* x_1 E_3^{(f)} \\
& -\beta^* \beta_f x_2 E_2^{(f)} + \beta^* \beta_m x_2 E_2^{(f)} + \beta^* \gamma_m E_2^{(f)} + \beta^* x_3 E_1^{(f)} - \beta^* x_3 \beta_f E_3^{(f)} \\
R_A'' & = (\alpha^* + \beta^* x_3) E_1^{(f)} + (\alpha^* - \beta^* x_3 - \beta^{*2} x_2 + \beta^* \gamma_m) E_2^{(f)} + (\beta^* x_2 - \beta^* x_1 - \beta^{*2} x_3) E_3^{(f)} \quad (14)
\end{aligned}$$

elde edilir.

### 3.1.3. Aksoidlerin İndirgenmiş Yapı Denklemlerinin Kinematik Anlamları

$\alpha^*, \beta^*, \gamma^*$  yapı denklemlerinin kinematik anlamlarını inceleyelim.  $V_A$ , bir cismin bir  $A$  noktasındaki hızı olmak üzere

$$V_A = \frac{dR_A}{dt} = R_A' \frac{d\sigma}{dt} = \alpha^* \frac{d\sigma}{dt} E_1^{(f)} + \beta^* \frac{d\sigma}{dt} (x_2 \overrightarrow{E_3^{(f)}} - x_3 \overrightarrow{E_2^{(f)}})$$

şekindedir. Burada,  $W = \beta^* \frac{d\sigma}{dt}$ ,  $V = \alpha^* \frac{d\sigma}{dt}$ ,  $r = x_1 \overrightarrow{E_1^{(f)}} + x_2 \overrightarrow{E_2^{(f)}} + x_3 \overrightarrow{E_3^{(f)}}$  alınır

$$\begin{aligned}
V_A & = VE_1^{(f)} + W(E_1^{(f)} \times r) = VE_1^{(f)} + W(E_1^{(f)} \times (x_1 \overrightarrow{E_1^{(f)}} + x_2 \overrightarrow{E_2^{(f)}} + x_3 \overrightarrow{E_3^{(f)}})) \\
\Rightarrow V_A & = VE_1^{(f)} + W(x_2 \overrightarrow{E_3^{(f)}} - x_3 \overrightarrow{E_2^{(f)}}) \quad (15)
\end{aligned}$$

eşitliği bulunur. (15) denklemindeki  $V$  ve  $W$ ;  $\Sigma_f$  ve  $\Sigma_m$  regle yüzeylerinin birbirleri üzerinde kaymadan yuvarlanma hareketi esnasında hareketli cismin öteleme hızı ve açısal hızıdır. Hareketli cismin  $A$  noktasındaki ivmesini  $a_A$  ile olmak üzere

$$\begin{aligned}
a_A & = \frac{dV_A}{dt} = \frac{dV}{dt} E_1^{(f)} + VE_2^{(f)} \frac{d\sigma}{dt} + \frac{dW}{dt} x_2 E_3^{(f)} - x_3 \frac{dW}{dt} E_2^{(f)} \\
& + W(-x_1 + \beta_m x_3) \frac{d\sigma}{dt} E_3^{(f)} - W\beta_f x_2 E_2^{(f)} \frac{d\sigma}{dt} + W(\beta_m x_2 + \gamma_m) E_2^{(f)} \frac{d\sigma}{dt} \\
& - Wx_3(-E_1^{(f)} + \beta_f E_3^{(f)}) \frac{d\sigma}{dt} - x_2(\beta_f - \beta_m) E_2^{(f)} \frac{d\sigma}{dt} \\
\Rightarrow a_A & = \left( \frac{dV}{dt} + Wx_3 \frac{d\sigma}{dt} \right) E_1^{(f)} + \left( V \frac{d\sigma}{dt} - x_3 \frac{dW}{dt} - W\beta^* x_2 \frac{d\sigma}{dt} + W\gamma_m \frac{d\sigma}{dt} \right) E_2^{(f)} \\
& + \left( \frac{dW}{dt} x_2 - Wx_1 \frac{d\sigma}{dt} - W\beta^* x_3 \frac{d\sigma}{dt} \right) E_3^{(f)} \quad (16)
\end{aligned}$$

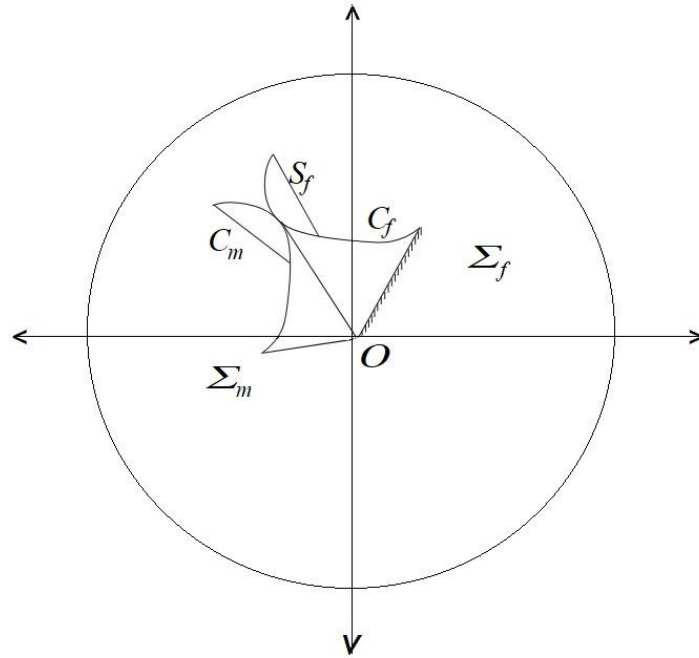
elde edilir. Burada  $\frac{dW}{dt}$  ve  $\frac{dV}{dt}$   $\Sigma_m$  nin  $E_1^{(f)}$  (ani vida eksenini) boyunca  $\Sigma_m$  ya ilişkin açısız ivme ve öteleme ivmeleridir.

$$\left. \begin{aligned} V_A &= \frac{dR_A}{dt} = R'_A \frac{d\sigma}{dt} \\ a_A &= \frac{d^2R_A}{dt^2} = R''_A \left(\frac{d\sigma}{dt}\right)^2 + R'_A \frac{d^2\sigma}{dt^2} \end{aligned} \right\} \quad (17)$$

$$\begin{aligned} W &= \beta^* \frac{d\sigma}{dt}, & V &= \alpha^* \frac{d\sigma}{dt} \\ \Rightarrow \frac{dV}{dt} &= \alpha^{*'} \left(\frac{d\sigma}{dt}\right)^2 + \alpha^* \frac{d^2\sigma}{dt^2} \\ \Rightarrow \frac{dW}{dt} &= \beta^{*'} \left(\frac{d\sigma}{dt}\right)^2 + \beta^* \frac{d^2\sigma}{dt^2} \end{aligned} \quad (18)$$

denklemleri elde edilir.

(17) ve (18) denklemleri  $\alpha^*$  ve  $\beta^*$  ifadelerinin kinematik anlamlarını ifade etmektedir[Wang (1995)]. Bunlar uzay hareketlerinin bütün (invariant) değişmezleridir (Şekil5).



Şekil 5.  $c_m$  küresel gösterge eğrisinin yuvarlanma hareketi

$E_1^{(m)}$  için  $c_m$  küresel gösterge eğrisi  $E_1^{(f)}$  nin  $c_r$  küresel gösterge eğrisi üzerinde yuvarlanıncı [Bokelberg ve ark. (1992); Ridley ve ark. (1992)]. (16) ve (17) denklemleri sıfıra eşitlenirse  $x_1, x_2, x_3$  ifadeleri aşağıdaki şekilde bulunabilir;  $a_A = \frac{dV_A}{dt} = 0$  olup

$$\left(\frac{dV}{dt} + Wx_3 \frac{d\sigma}{dt}\right) E_1^{(f)} + \left(V \frac{d\sigma}{dt} - x_3 \frac{dW}{dt} - W\beta^* x_2 \frac{d\sigma}{dt} + W\gamma_m \frac{d\sigma}{dt}\right) E_2^{(f)} + \left(\frac{dW}{dt} x_2 - Wx_1 \frac{d\sigma}{dt} - W\beta^* x_3 \frac{d\sigma}{dt}\right) E_3^{(f)} = 0$$

$$1) \frac{dV}{dt} + Wx_3 \frac{d\sigma}{dt} = 0$$

$$2) V \frac{d\sigma}{dt} - x_3 \frac{dW}{dt} - W\beta^* x_2 \frac{d\sigma}{dt} + W\gamma_m \frac{d\sigma}{dt} = 0$$

$$3) \frac{dW}{dt} x_2 - Wx_1 \frac{d\sigma}{dt} - W\beta^* x_3 \frac{d\sigma}{dt} = 0$$

olduğundan

$$x_1 = \frac{\frac{d\omega}{dt} \left(\omega \frac{d\sigma}{dt}\right)^{-1} \left(v \frac{d\sigma}{dt} + \frac{dv d\omega}{dt dt} \left(\omega \frac{d\sigma}{dt}\right)^{-1}\right)}{\omega \beta^* \frac{d\sigma}{dt}} - \frac{\beta^* \frac{dv}{dt} \left(\omega \frac{d\sigma}{dt}\right)^{-1} - \omega \gamma_m \frac{d\sigma d\omega}{dt dt} \left(\omega \frac{d\sigma}{dt}\right)^{-1}}{\omega \beta^* \frac{d\sigma}{dt}}$$

$$x_2 = \left[ V \frac{d\sigma}{dt} + W\gamma_m \frac{d\sigma}{dt} + \left(W \frac{d\sigma}{dt}\right)^{-1} \frac{dV}{dt} \frac{dW}{dt} \right] / \left(W\beta^* \frac{d\sigma}{dt}\right) \quad (19)$$

$$x_3 = \frac{dV}{dt} \left(W \frac{d\sigma}{dt}\right)^{-1}$$

bulunur.

Bu  $(x_1, x_2, x_3)$  noktasına  $\Sigma_f$  yüzeyine göre ivme merkezi adı verilir.  $a_A \times V_A = 0$  şartını sağlayan noktalara inflection noktaları adı verilir. Bu noktaları bulalım;

$$a_A \times V_A = 0$$

$$\left(R_A'' \left(\frac{d\sigma}{dt}\right)^2 + R_A' \frac{d^2\sigma}{dt^2}\right) \times \left(R_A' \frac{d\sigma}{dt}\right) = 0$$

$$R_A'' \times R_A' \left(\frac{d\sigma}{dt}\right)^3 + R_A' \times R_A' \frac{d^2\sigma}{dt^2} \frac{d\sigma}{dt} = 0$$

$$R_A'' \times R_A' \left(\frac{d\sigma}{dt}\right)^3 = 0 \Rightarrow R_A'' \times R_A' = 0$$

$$\begin{vmatrix} E_1^{(f)} & E_2^{(f)} & E_3^{(f)} \\ \alpha^{*'} + \beta^* x_3 & \alpha^* - \beta^{*'} x_3 - \beta^{*2} x_2 + \beta^* \gamma_m & \beta^{*'} x_2 - \beta^* x_1 - \beta^{*2} x_3 \\ \alpha^* & -\beta^* x_3 & \beta^* x_2 \end{vmatrix} = 0$$



$$\begin{aligned}
& [\beta^* x_2 (\alpha^* - \beta^{*'} x_3 - \beta^{*2} + \beta^* \gamma_m) + \beta^* x_3 (\beta^{*'} x_2 - \beta^* x_1 - \beta^{*2} x_3)] E_1^{(f)} \\
& + [\alpha^* (\beta^{*'} x_2 - \beta^* x_1 - \beta^{*2} x_3) - \beta^* x_2 (\alpha^{*'} + \beta^* x_3)] E_2^{(f)} \\
& + [-\beta^* x_3 (\alpha^{*'} + \beta^* x_3) - \alpha^* (\alpha^* - \beta^{*'} x_3 - \beta^{*2} x_2 + \beta^* \gamma_m)] E_3^{(f)} = 0
\end{aligned}$$

olur.  $E_1^{(f)}, E_2^{(f)}, E_3^{(f)}$  baz vektörler olduğundan

$$\begin{aligned}
1) & \beta^* x_2 (\alpha^* - \beta^{*'} x_3 - \beta^{*2} + \beta^* \gamma_m) + \beta^* x_3 (\beta^{*'} x_2 - \beta^* x_1 - \beta^{*2} x_3) = 0 \\
& \beta^* (\alpha^* + \beta^* \gamma_m) x_2 - \beta^{*2} x_1 x_3 - \beta^{*3} (x_2^2 + x_3^2) = 0 \\
& -(\alpha^* + \beta^* \gamma_m) x_2 + \beta^* x_1 x_3 + \beta^{*2} (x_2^2 + x_3^2) = 0
\end{aligned}$$

olup

$$\begin{aligned}
2) & \alpha^* (\beta^{*'} x_2 - \beta^* x_1 - \beta^{*2} x_3) - \beta^* x_2 (\alpha^{*'} + \beta^* x_3) = 0 \\
& \alpha^* \beta^{*'} x_2 - \alpha^* \beta^* x_1 - \alpha^* \beta^{*2} x_3 - \alpha^{*'} \beta^* x_2 - \beta^{*2} x_2 x_3 = 0 \\
& \alpha^* \beta^* x_1 + (\alpha^{*'} \beta^* - \alpha^* \beta^{*'}) x_2 + \alpha^* \beta^{*2} x_3 + \beta^{*2} x_2 x_3 = 0
\end{aligned}$$

ayrıca

$$\begin{aligned}
3) & -\beta^* x_3 (\alpha^{*'} + \beta^* x_3) - \alpha^* (\alpha^* - \beta^{*'} x_3 - \beta^{*2} x_2 + \beta^* \gamma_m) = 0 \\
& -\beta^* \alpha^{*'} x_3 - \beta^{*2} x_3^2 - \alpha^{*2} + \alpha^* \beta^{*'} x_3 + \alpha^* \beta^{*2} x_2 - \alpha^* \beta^* \gamma_m = 0 \\
& -\alpha^* (\alpha^* + \beta^* \gamma_m) - (\alpha^{*'} \beta^* - \alpha^* \beta^{*'}) x_3 - \beta^{*2} (x_3^2 + \alpha^* x_2) = 0
\end{aligned}$$

bulunur. Yani

$$\begin{aligned}
& -(\alpha^* + \beta^* \gamma_m) x_2 + \beta^* x_1 x_3 + \beta^{*2} (x_2^2 + x_3^2) = 0 \\
& \alpha^* \beta^* x_1 + (\alpha^{*'} \beta^* - \alpha^* \beta^{*'}) x_2 + \alpha^* \beta^{*2} x_3 + \beta^{*2} x_2 x_3 = 0 \\
& -\alpha^* (\alpha^* + \beta^* \gamma_m) - (\alpha^{*'} \beta^* - \alpha^* \beta^{*'}) x_3 - \beta^{*2} (x_3^2 + \alpha^* x_2) = 0
\end{aligned} \tag{20}$$

denklemleri elde edilir. Buradaki 3 yüzey sadece bir uzay eğrisi boyunca kesişir veya 3 denklemden ikisi lineer bağımsızdır.

**Tanım 3.1.3.1.** Bir katı cisimde  $\langle a_A, V_A \rangle = 0$  ile belirli hiperboloid Bresse hiperboloididir. (15)

ve (16) denklemleri yukardaki denklemde yerlerine yazılırsa  $\{\overrightarrow{r_m}; \overrightarrow{E_1^{(m)}}, \overrightarrow{E_2^{(m)}}, \overrightarrow{E_3^{(m)}}\}$  Frenet çatısında Bresse Hiperboloidinin denklemi;

$$V \frac{dV}{dt} - x_3 W^2 \gamma_m \frac{d\sigma}{dt} - x_1 x_3 W^2 \frac{d\sigma}{dt} + (x_2^2 + x_3^2) W \frac{dW}{dt} = 0 \quad (21)$$

ile temsil edilir.

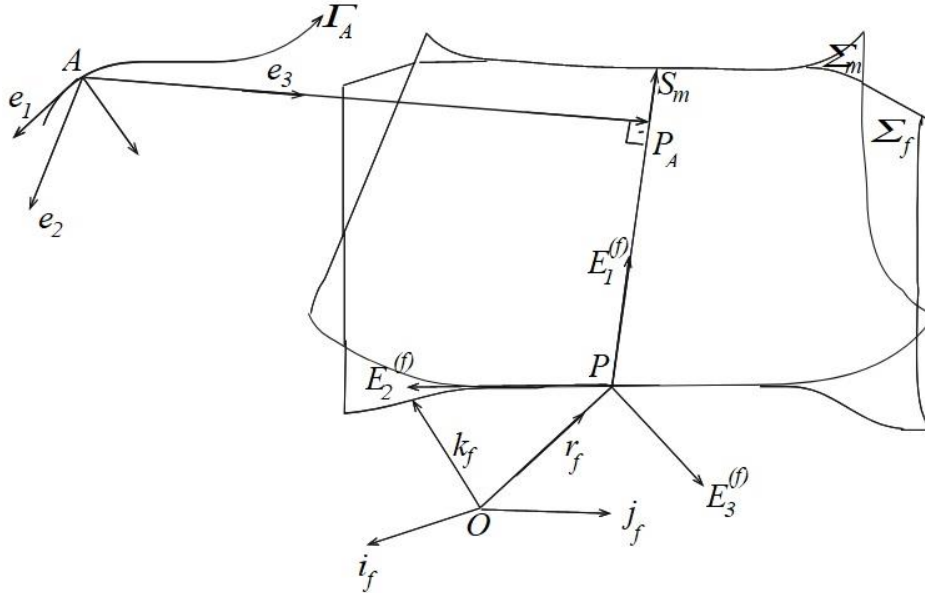
Özel olarak  $\alpha_f, \gamma_f \in \Sigma_f$  ve  $\alpha_m, \gamma_m \in \Sigma_m$  ifadelerinin tümü sıfır ise (19) - (21) denklemleri

- 1) İvme merkezi;  $x_1 = 0, x_2 = 0, x_3 = 0$
- 2) İnflection (bükülme) noktaları;  $x_2 = 0, x_3 = 0$
- 3) Bresse Hiperboloidi;  $W x_1 x_2 \frac{d\sigma}{dt} + (x_2^2 + x_3^2) \frac{dW}{dt} = 0$

olarak basitleştirilebilir.

### 3.1.4. Uzak Hareketinde Bir Noktanın Yörüngesinin Ani Özellikleri

$\Sigma_m$  hareketli regle yüzeyinin  $\Sigma_f$  sabit regle yüzeyine göre hareketini inceleyelim.



**Şekil 6.**  $\Gamma_A$  yörüngesinin  $A$  noktasındaki  $R_A$  hareketli çatısı

Öncelikle  $A$  noktasının  $\Gamma_A$  yörüngesinin  $A$  noktasındaki  $\{R_A; e_1, e_2, e_3\}$  hareketli çatısını, bu  $A$  noktasının yörüngesinin geometrik özelliklerini incelemek üzere oluşturalım (Şekil6). Burada  $e_1$  birim vektörü  $A$  noktasında  $\Gamma_A$  nın birim teğet vektörüdür [Sasaki (1956)].  $e_3$  birim vektörü ise

$E_1^{(f)}$  nin üzerinde bulunduğu doğrultman vektörüne ortonormal olan bir doğru üzerindeki birim vektördür.  $e_1, e_2, e_3$  vektörleri aşağıdaki gibi hesaplanabilir;

$$\begin{aligned} e_1 &= \frac{R'_A}{\|R'_A\|} = \frac{\alpha^*}{R} E_1^{(f)} + \beta^* \left( \frac{x_2}{R} E_3^{(f)} - \frac{x_3}{R} E_2^{(f)} \right) \\ e_2 &= e_1 \times e_3 = \frac{-\beta^* r^2}{Rr} E_1^{(f)} + \alpha^* \left( \frac{x_2}{Rr} E_3^{(f)} - \frac{x_3}{Rr} E_2^{(f)} \right) \\ e_3 &= \frac{R'_A \times E_1^{(f)}}{\|R'_A \times E_1^{(f)}\|} = \frac{x_2}{r} E_2^{(f)} + \frac{x_3}{r} E_3^{(f)} \end{aligned} \quad (22)$$

bulunur. Burada  $r = (x_2^2 + x_3^2)^{\frac{1}{2}}$  ve  $R = (\alpha^{*2} + \beta^{*2} r^2)^{\frac{1}{2}}$  dir. Gerçekten

$$\begin{aligned} e_1 &= \frac{R'_A}{\|R'_A\|} = \frac{\alpha^* E_1^{(f)} + \beta^* (x_2 E_3^{(f)} - x_3 E_2^{(f)})}{\|R'_A\|} = \frac{\alpha^*}{R} E_1^{(f)} + \beta^* \left( \frac{x_2}{R} E_3^{(f)} - \frac{x_3}{R} E_2^{(f)} \right) \\ e_3 &= \frac{R'_A \times E_1^{(f)}}{\|R'_A \times E_1^{(f)}\|} = \frac{[\alpha^* E_1^{(f)} + \beta^* (x_2 E_3^{(f)} - x_3 E_2^{(f)})] \times E_1^{(f)}}{\|[\alpha^* E_1^{(f)} + \beta^* (x_2 E_3^{(f)} - x_3 E_2^{(f)})] \times E_1^{(f)}\|} \\ &= \frac{\beta^* x_2 E_3^{(f)} \times E_1^{(f)} - \beta^* x_3 E_2^{(f)} \times E_1^{(f)}}{\|\beta^* x_2 E_3^{(f)} \times E_1^{(f)} - \beta^* x_3 E_2^{(f)} \times E_1^{(f)}\|} = \frac{\beta^* x_2 E_2^{(f)} + \beta^* x_3 E_3^{(f)}}{\|\beta^* x_2 E_2^{(f)} + \beta^* x_3 E_3^{(f)}\|} \\ &= \frac{\beta^* x_2 E_2^{(f)} + \beta^* x_3 E_3^{(f)}}{\sqrt{\beta^{*2} (x_2^2 + x_3^2)}} = \frac{\beta^* x_2 E_2^{(f)} + \beta^* x_3 E_3^{(f)}}{\beta^* r} = \frac{x_2}{r} E_2^{(f)} + \frac{x_3}{r} E_3^{(f)} \\ e_2 &= e_1 \times e_3 = \left[ \frac{\alpha^*}{R}, -\frac{x_3 \beta^*}{R}, \frac{x_2 \beta^*}{R} \right] \times \left[ 0, -\frac{x_2}{r}, \frac{x_3}{r} \right] \\ &= \frac{-\beta^* r^2}{Rr} E_1^{(f)} + \alpha^* \left( \frac{x_2}{Rr} E_3^{(f)} - \frac{x_3}{Rr} E_2^{(f)} \right) \end{aligned} \quad (22)$$

elde edilir.

$s$  yay parametresi olmak üzere

$$\begin{aligned} s &= \int \|R'_A\| d\sigma \\ \Rightarrow ds &= \|R'_A\| d\sigma \\ \Rightarrow ds &= R d\sigma \end{aligned} \quad (23)$$

yazılabilir.  $\{R_A; e_1, e_2, e_3\}$  çatısının türev denklemleri

$$\begin{aligned}
\frac{de_1}{ds} &= k_n e_2 + k_g e_3 \\
\frac{de_2}{ds} &= -k_n e_1 + \tau_g e_3 \\
\frac{de_3}{ds} &= -k_g e_1 - \tau_g e_2
\end{aligned} \tag{24}$$

dır. Burada  $\tau_g$ ,  $k_g$  ve  $k_n$  ve sırasıyla geodezik torsiyon; geodezik eğrilik ve normal eğrilik olarak isimlendirilir. Ayrıca  $k^2 = k_n^2 + k_g^2$  ilişkisi mevcuttur.

A noktasında  $\Gamma_A$  nin eğriliği ve  $k_g$ ,  $e_3$  yönünde  $\frac{d^2 R_A}{ds^2}$  nin normal bileşenidir. (22) ve (24) denklemleri birleştirildiğinde

$$\begin{aligned}
k_n &= \frac{de_1}{ds} e_2 = \frac{r}{R^3} (\alpha^* \beta^* - \alpha^* \beta^{*'} + \beta^{*2} x_3) + \frac{\alpha^*}{R^3 r} (\alpha^* x_3 + \beta^* \gamma_m x_3 + \beta^* x_1 x_2) \\
k_g &= -\frac{de_3}{ds} e_1 = \frac{-\alpha^* x_2 + \beta^{*2} r^2 + \beta^* (x_1 x_3 - x_2 \gamma_m)}{R^2 r} \\
\tau_g &= -\frac{de_3}{ds} e_2 = \frac{\beta^*}{R^2} (x_2 + \alpha^*) + \frac{\alpha^*}{R^2 r} (x_1 x_3 - x_2 \gamma_m)
\end{aligned} \tag{25}$$

bulunur. Artık A noktasının yörüngesi için, düzlem kinematığı içinde bilinen hareketli bir noktanın sabit düzlemdeki yörüngesinin eğrilik yarıçapını sağlayan Euler-Savary formülünü elde etmeye çalışalım.

### 3.1.5. Uzay Hareketinde Bir Noktanın Yörüngesine Ait Euler-Savary Formülleri

Bir noktanın  $\Gamma_A$  yörüngesinin özelliklerini ortaya çıkarmak için (25) denkleminde

$$\begin{aligned}
D_g &= \frac{[\beta^{*2} x_1^2 + (\alpha^* + \beta^* \gamma_m)^2]^{\frac{1}{2}}}{\beta^{*2}} \\
\sin \theta_g &= \frac{\beta^* x_1}{D_g}, \quad \sin \theta = \frac{x_3}{R}
\end{aligned} \tag{26}$$

eşitliklerini alalım. (25) denkleminin ikinci bölümü

$$k_g = \frac{r - D_g \cos(\theta + \theta_g)}{r^2 + \left(\frac{\alpha^*}{\beta^*}\right)^2} \tag{27}$$

olarak yazılabilir.  $k_g = \frac{1}{\rho_g}$  olmak üzere bu denklem,

$$\rho_g [r - D_g \cos(\theta + \theta_g)] = r^2 + \left(\frac{\alpha^*}{\beta^*}\right)^2 \quad (28)$$

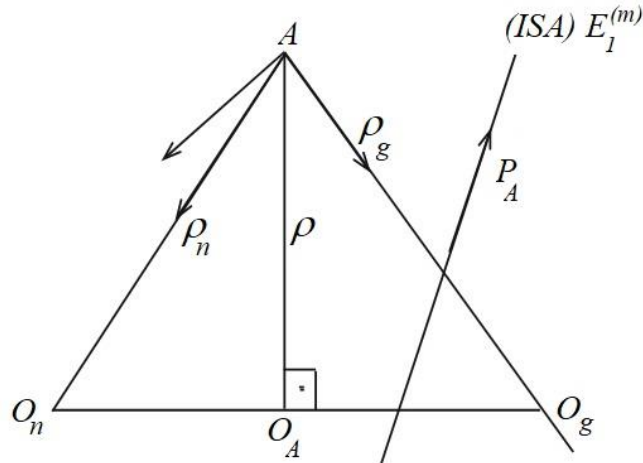
veya

$$\begin{aligned} r\rho_g - r^2 &= \left(\frac{\alpha^*}{\beta^*}\right)^2 + \rho_g D_g \cos(\theta + \theta_g) \\ \Rightarrow \frac{\rho_g}{r(\rho_g - r)} &= \frac{\rho_g}{\left(\frac{\alpha^*}{\beta^*}\right)^2 + \rho_g D_g \cos(\theta + \theta_g)} \\ \Rightarrow \frac{1}{r} + \frac{1}{\rho_g - r} &= \frac{\rho_g}{\left(\frac{\alpha^*}{\beta^*}\right)^2 + \rho_g D_g \cos(\theta + \theta_g)} \end{aligned} \quad (29)$$

olur.

(27) ve (29) denklemleri düzlemde Euler-Savary formülüne benzedikleri için Euler-Savary benzeri geodezik olarak adlandırılır.

$\Gamma_A$ 'nın  $\vec{n}$  asli normali ani vida eksenini ile genelde kesişmez ancak düzlemsel harekette kesişir. A noktasında  $\Gamma_A$ 'nın eğrilik merkezi  $O_A$  dır.

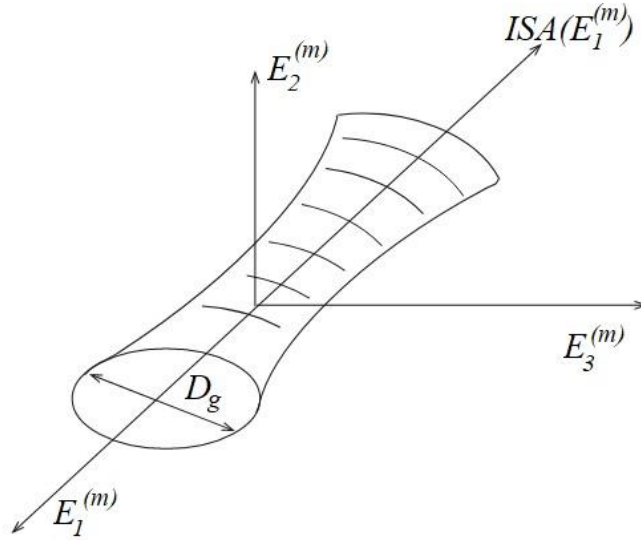


Şekil 7. Geodezik büküm noktası

Eğer hareketli cismin bir A noktasının çizdiği  $\Gamma_A$  yörünge eğrisinin geodezik eğriliği sıfır ise bu durumda A noktasına geodezik büküm noktası denir. Hareketli cismin bütün geodezik büküm noktalarının aşağıdaki denklemle tanımlanan yüzey üzerinde olduğunu (27) denklemi ile biliyoruz;

$$r - D_g \cos(\theta + \theta_g) = 0 \quad (30)$$

Geodezik büküm yüzeyi olarak tanımlanan bu yüzey, (30) denklemini sağlayan noktalardan oluşur (Şekil 7). (26) denklemine göre (30) ile verilen  $D_g$  ve  $\theta_g$  bir  $x_1$  değeri için sabittir. Böylece (30) denklemi  $E_1^{(f)}$  eksenine ortonormal  $(E_2^{(f)}, E_3^{(f)})$  düzleminde kalan ve  $E_1^{(f)}$  eksenini boyunca geçen bir çember denklemdir. Bu çembere ise geodezik büküm çemberi adı verilir (Şekil 8).



Şekil 8. Geodezik büküm çemberi

Eğer  $x_1 \in (-A, +A)$  alınırsa  $E_1^{(f)}$  ekseninin konumundan (30) ifadesi geodezik büküm çemberlerinin bir ailesi veya geodezik büküm yüzeyi geodezik büküm çemberlerinin bir ailesi olarak düşünülebilir. Geodezik büküm yüzeylerinin ek iki özelliğini de aşağıdaki gibi bulabiliriz.

i) Geodezik büküm çemberlerinin merkezi striksiyon noktasında (ya da  $x_1 = 0$ ) hareketli  $\Sigma_m$  aksoidinin normalinde kalır.

ii) Bir koni olan geodezik büküm yüzeyinin üst kısmı  $\alpha^* + \beta^* \gamma_m = 0$  iken  $\Sigma_m$  nin striksiyon noktasıdır.  $k^2 = k_n^2 + k_g^2$  denkleminde  $k = k_g$  için  $k_n = 0$  dir. Buna göre (25) denklemini tekrar

$$r^2(\alpha^* \beta^* - \alpha^* \beta^{*'} + \beta^{*2} x_3) + \alpha^*(\alpha^* x_3 + \beta^* \gamma_m x_3 + \beta^* x_1 x_2) = 0$$

$$k = \frac{-\alpha^* x_2 + \beta^{*2} r^2 + \beta^*(x_1 x_3 - x_2 \gamma_m)}{R^2 r}$$

olarak yazabiliriz. (26) denklemi yukardaki denklemlerde yerine yazılırsa

$$0 = r \left[ r \left( \frac{\alpha^*}{\beta^*} \right)^2 + r^2 \sin\theta + \alpha^* D_g \sin(\theta + \theta_g) \right] \quad (31)$$

$$k = \frac{r - D_g \cos(\theta + \theta_g)}{r^2 + \left( \frac{\alpha^*}{\beta^*} \right)^2} \quad (32)$$

olur.  $k$  eğriliği yerine  $\rho$  eğrilik yarıçapı yazılırsa (32) denkleminin diğer iki açılımı

$$\rho [r - D_g \cos(\theta + \theta_g)] = r^2 + \left( \frac{\alpha^*}{\beta^*} \right)^2 \quad (33)$$

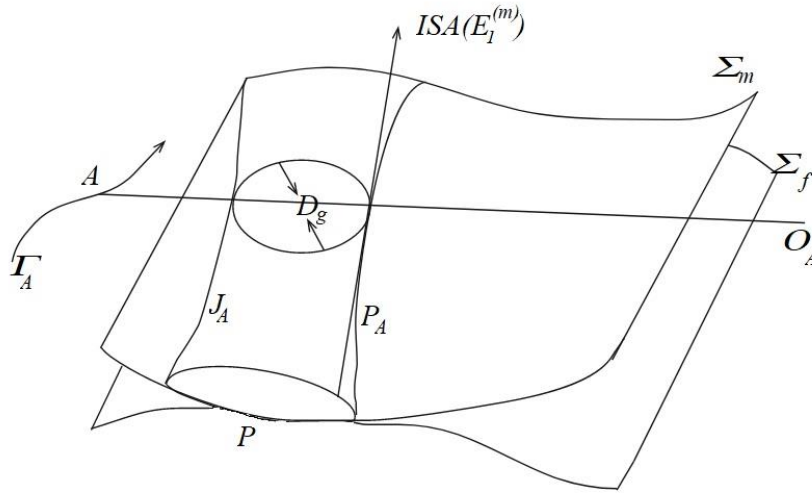
$$\frac{1}{r} + \frac{1}{\rho - r} = \frac{\rho}{\left( \frac{\alpha^*}{\beta^*} \right)^2 + \rho D_g \cos(\theta + \theta_g)} \quad (34)$$

olarak yazılır.

(32)-(34) denklemlerine bir noktanın uzay hareketindeki yörüngesinin Euler-Savary benzeri formülü denir. (33) ifadesi

$$\overline{AO_A AJ_A} = \overline{AP_A^2} + \left( \frac{\alpha^*}{\beta^*} \right)^2 \quad (35)$$

olarak elde edilebilir.  $A$ , hareketli cisim üzerinde tracing point;  $O_A$  ise  $\Gamma_A$  yörüngesinin eğrilik merkezidir (Şekil9).



Şekil 9. Hareketli cisim üzerindeki A tracing pointi ve  $O_A$  eğrilik merkezi

$J_A; E_1^{(f)}$  eksenine dik düzlem üzerindedir ve yine bu nokta  $A(x_1, x_2, x_3)$  noktasından geçer. Geodezik büküm çemberinin  $n$  ile kesişmesinin  $J_A$  ' da olduğu aynı anda;  $P_A$  noktası ise  $\Gamma_A$  yörüngesinin asli normal ile  $E_1^{(f)}$  ekseninin kesişme noktası olur.

Açık şekilde O hareketli cisim üzerinde herhangi bir nokta değildir. Bu noktanın bir anda hareketli cisim üzerinde (31) denklemiyle tanımlanan yüzey üzerinde olduğu durumda Euler-Savary benzeri formül korunur. Yani uzay hareketinde herhangi bir noktanın yörüngesi için geodezik bir Euler-Savary formülü mevcuttur. Ancak bazı noktaların yörüngeleri için Euler-Savary formülü bulunmamaktadır.

Eğer  $k_n$  normal eğriliği ve  $k_g$  geodezik eğriliği özdeş olarak sıfır ise hareketli bir cismin bir A noktası geodezik büküm yüzeyi ve (31) denklemi ile tanımlanan yüzeyin arakesit eğrisi üzerinde olmalıdır.

$k^2 = k_n^2 + k_g^2$  olduğu için A noktası aynı zamanda büküm noktası olarak tanımlanır. Eğer  $\Gamma_A$  eğrisi büküm noktalarından meydana geliyorsa (31), (32) denklemleri ve onların çözümleri birleştirilirse bulunan denklem (20) denklemi ile aynıdır.

## Bilgi

Bu çalışma yazarın yüksek lisans tezinden üretilmiştir [Aksakal (2008)].

## Teşekkür

Yazarın yüksek lisans akademik danışmanı Sayın Prof. Dr. Rıfat Güneş' e yardımları, yönlendirmeleri dolayısıyla teşekkür ederiz.

## Araştırma ve Yayın Etiği Beyanı

Yazar, makalenin tüm süreçlerinde “Yükseköğretim Kurumları Bilimsel Araştırma ve Yayın Etiği Yönergesi” kapsamında uyulması gerekli tüm kurallara uyulduğunu, karşılaşılabilecek etik ihlallerden Karadeniz Fen Bilimleri Dergisi ve yayın kurulunun herhangi bir sorumluluğunun bulunmadığını, bu çalışmanın Karadeniz Fen Bilimleri Dergisi dışında herhangi bir akademik yayın ortamında değerlendirilmediğini beyan eder.



**Kaynaklar**

- Bokelberg, E. H., Hunt, K. H. and Ridley,P.R., (1992). Spatial Motion-I: Points of Inflection and The Differential Geometry of Screws[J]. *Mechanism and Machine Theory*, 27(1), 1-15.
- McCarthy, J. and Roth, B., (1981). The Curvature Theory of Line Trajectories in Spatial Kinematics. *ASME Journal of Mechanical Design*, 103(4), 718-724.
- Ridley, P. R., Bokelberg, E. H. and Hunt, K. H., (1992). Spatial Motion-II: Acceleration and The Differential Geometry of Screws[J]. *Mechanism and Machine Theory*, 27(1), 17-35.
- Sevinç, M. ve Samancı Kuşak, H., (2022). N-Bishop Çatısına Göre Regle Yüzeylerin Bazı Karakterizasyonları. *Karadeniz Fen Bilimleri Dergisi*, 12(1), 113-134.
- Wang, D. L. and Xiao, D. Z., (1993). Distribution of Coupler Curves for Crank-Rocker Linkages. *Mechanism and Machine Theory*, 28(5), 671-684.
- Hacısalıhoğlu, H. H., (1983). *Diferensiyel Geometri*. Malatya: I.Ü. Fen-Ed.Fak. Yayınları.
- Sasaki, S., (1956). *Differential Geometry(in Japanese)*. Tokyo: Kyolitsu Press.
- Aksakal, S. Ş., (2008). *Uzay Hareketinin Diferensiyel Geometrisi Üzerine*. Yüksek Lisans Tezi, İnönü Üniversitesi, Fen Bilimleri Enstitüsü, Malatya.
- Saçlı, G. Y., (2013). *Darboux Çatılı Regle Yüzeylerin Karakteristik Özellikleri*. Yüksek Lisans Tezi, Yıldız Teknik Üniversitesi, Fen Bilimleri Enstitüsü, İstanbul.
- Wang, D. L., (1995). *Kinematic Differential Geometry of Mechanisms*. Doctoral dissertation, Dalian University of Technology, Dalian.